

Università degli Studi di Padova – Dipartimento di Ingegneria Industriale

Corso di Laurea in Ingegneria Meccanica

Relazione per la prova finale

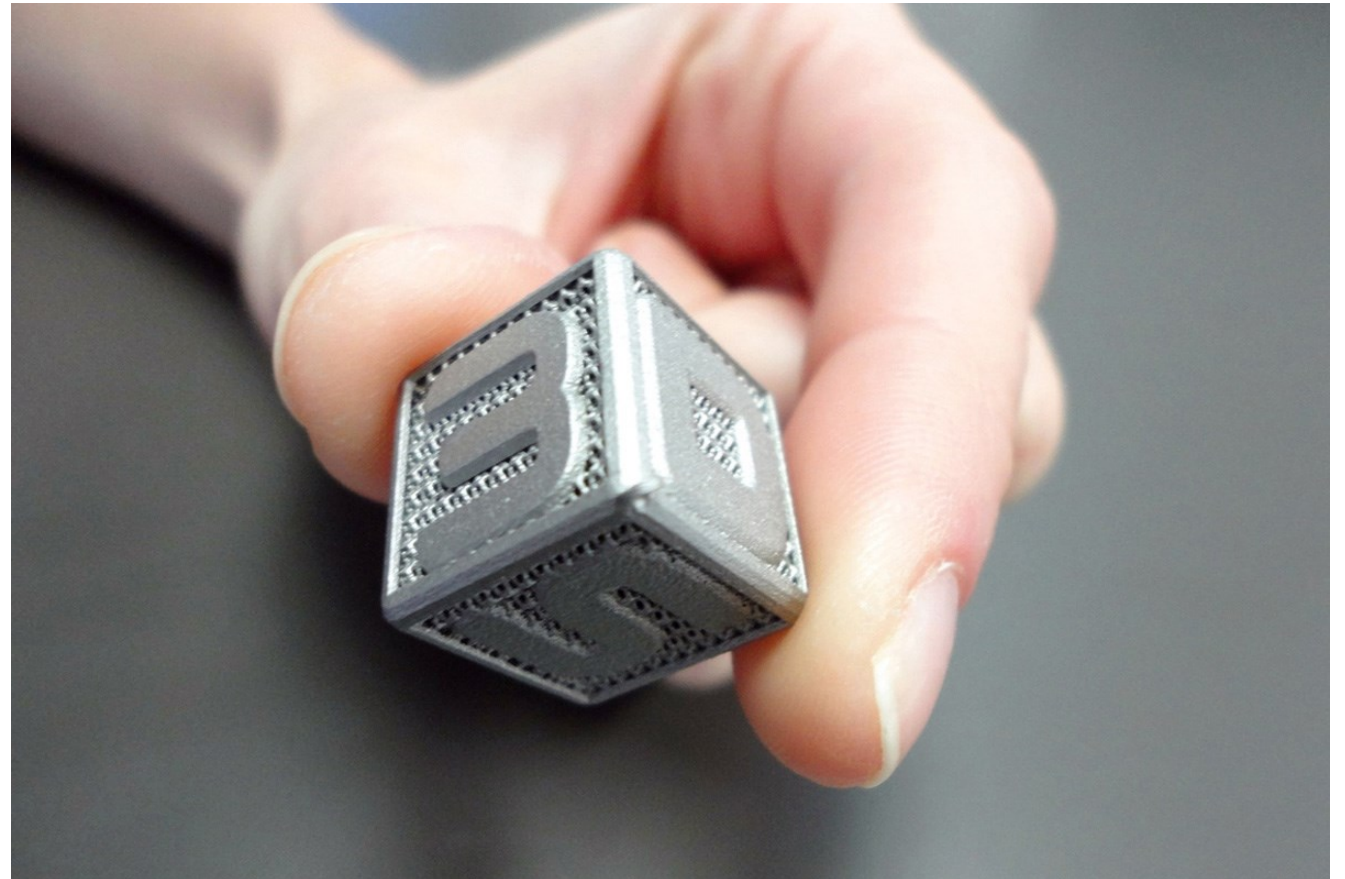
RESISTENZA STATICA E A FATICA DI COMPONENTI IN MATERIALE METALLICO STAMPATI 3D

Tutor universitario: Prof. Alberto Campagnolo

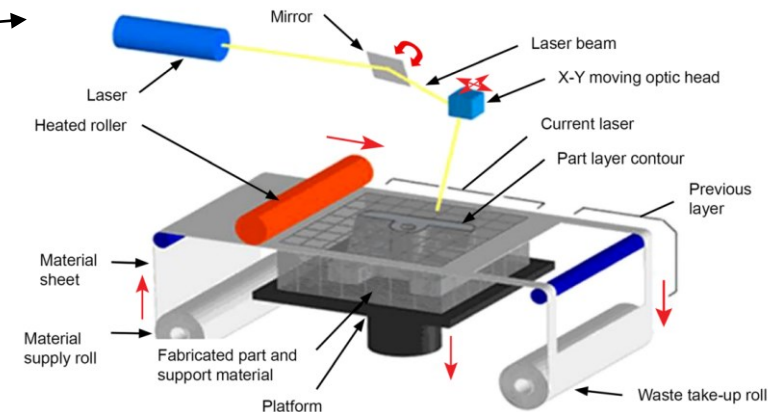
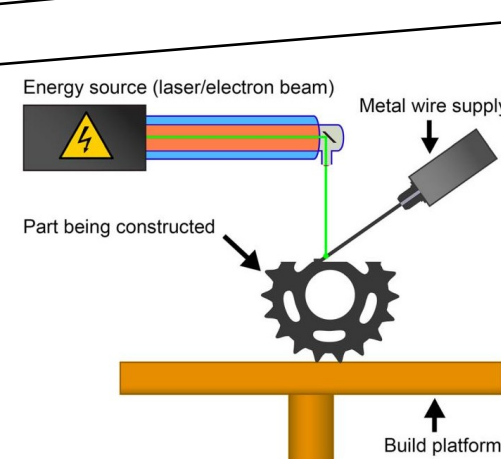
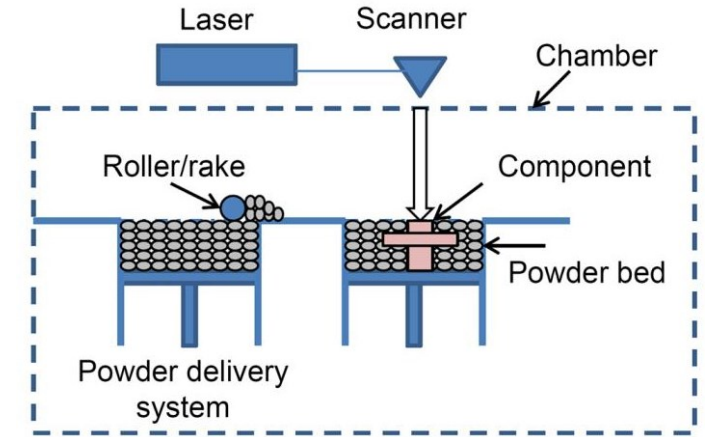
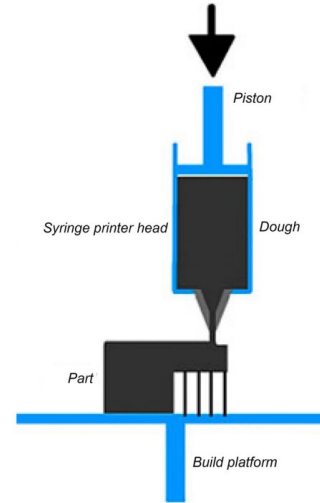
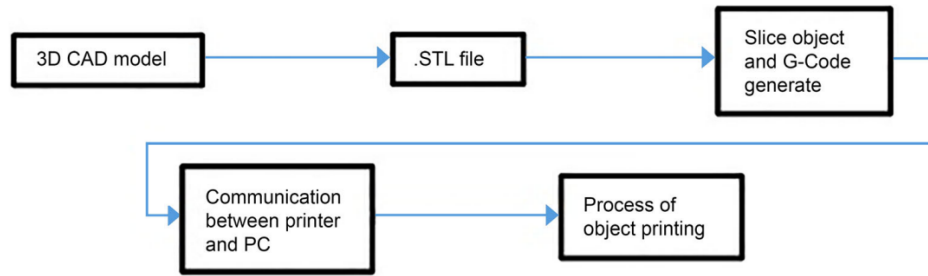
Laureando: *Riccardo Varnerin*

Padova, 18/11/2022

- **Additive manufacturing**
- **Acciai inossidabili**
- **Leghe di alluminio**
- **Leghe di titanio**
- **Difetti**
- **Componente industriale**



STAMPA 3D → METTERE IL MATERIALE SOLO DOVE SERVE



www.dii.unipd.it

- Vat photopolymerization → fotopolimeri e resine
- Material jetting → fotopolimeri e resine
- Binder jetting → sabbia, vetro e metalli
- Material extrusion → ceramica, siliceni e alimenti
- Powder bed fusion → metalli
- Sheet lamination → polimeri, ceramica e metalli
- Directed energy deposition → polimeri e metalli

Provini: 316L, 15-5PH



$d = 3\text{mm}$

PROPRIETA' STATICHE

Material	Source	Yield strength (MPa)	Ultimate tensile strength (MPa)	Elongation (%)
316L	Handbook	310	620	30
	SLM (Spierings <i>et al.</i> , 2011)	640	760	30
15-5 PH H900	Handbook	1,170	1,310	10
	SLM	1,100	1,470	15

SLM con orientamento verticale

316L (NO TT)

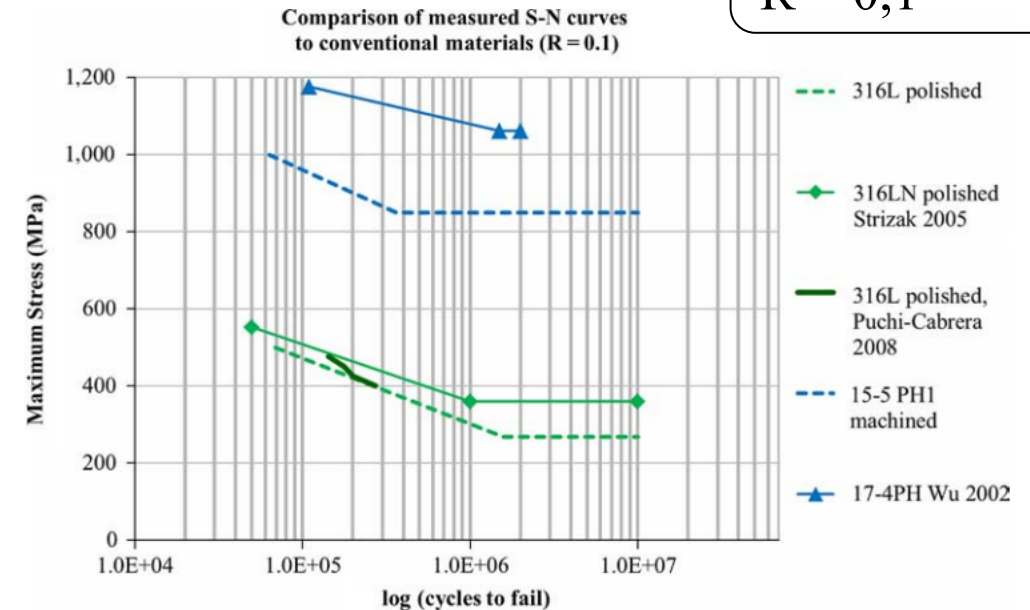
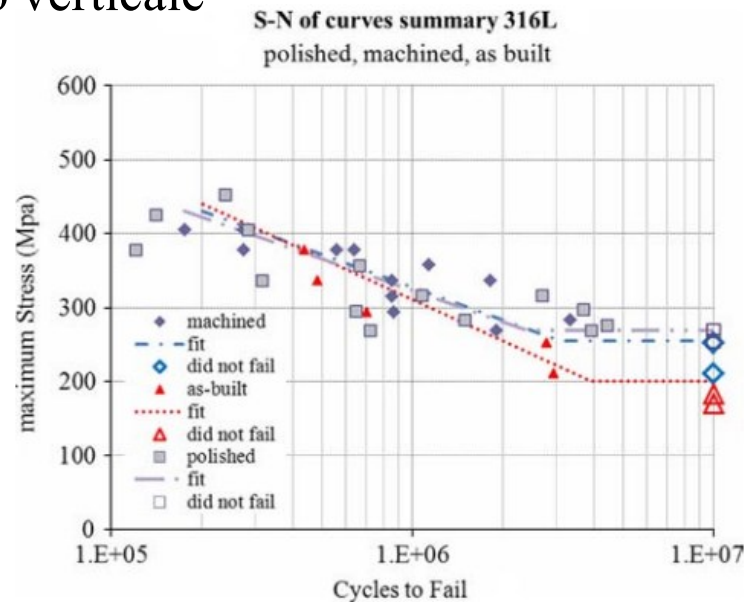
- As-buit
- Lavorato
- Lucidato

15-5PH (H900)

- lavorato

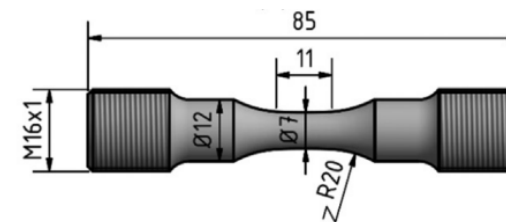
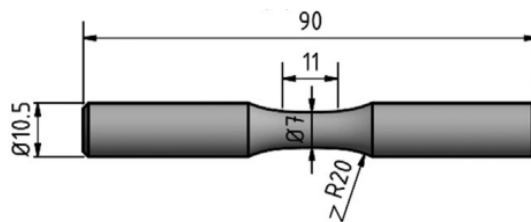
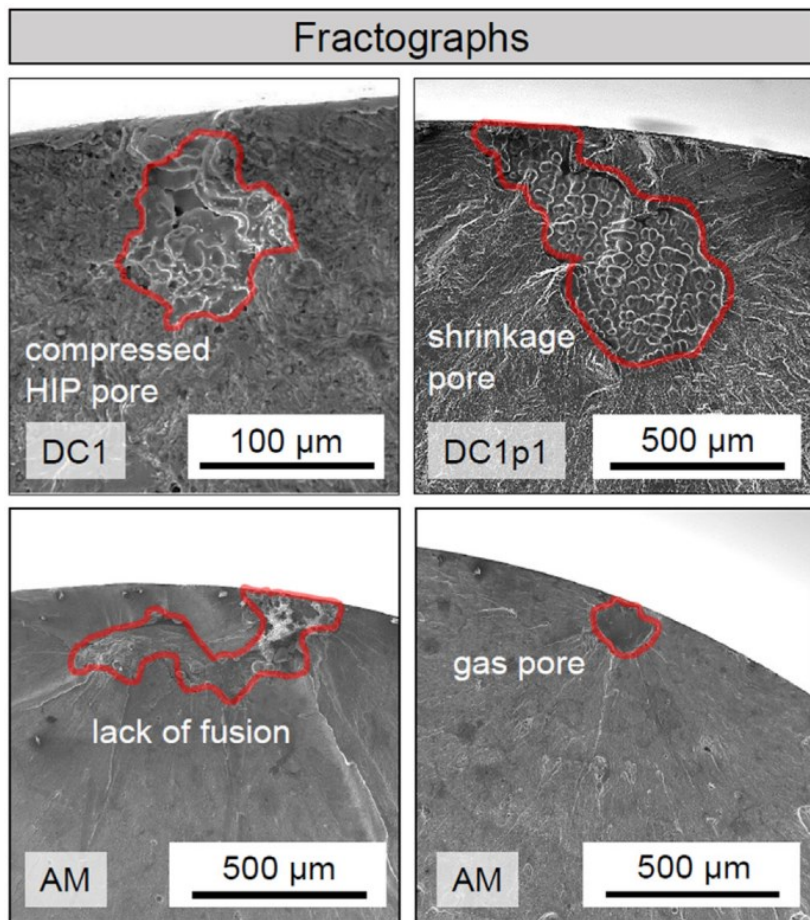
CURVE DI FATICA

carico assiale
 $R = 0,1$



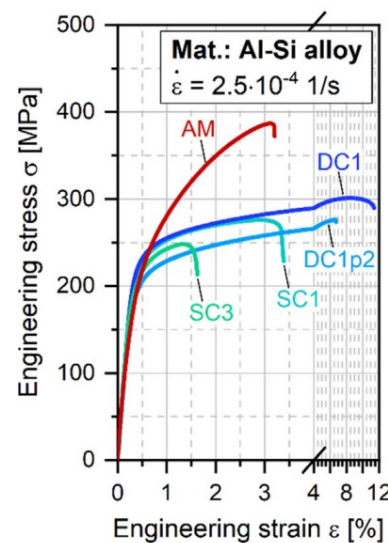
Provini: AlSi7Mg, AlSi10Mg → Laser PBF con orientamento verticale (NO TT)
 → Pressofusione (DC) e colata in sabbia (SC) (T6)

Campioni lucidati
e rettificati

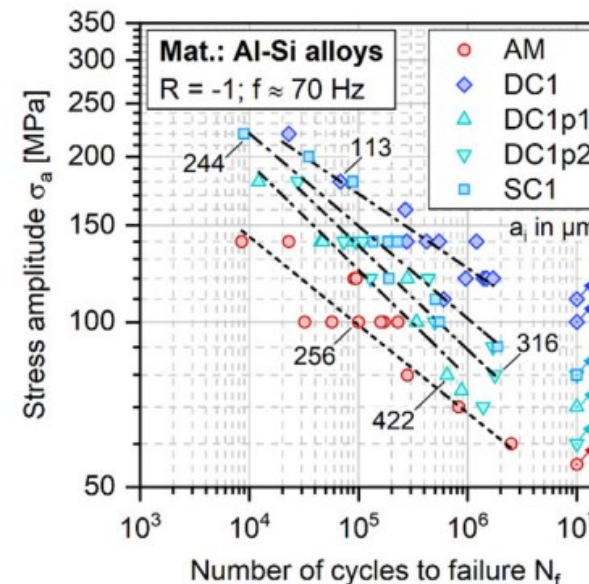


d = 7mm

PROVA DI TRAZIONE



CURVE DI FATICA



carico assiale
R = -1

Provini: Ti6Al4V

Sono stati esaminati provini realizzati con metodo tradizionale e AM con diversi:

- Trattamenti termici / HIP
- Finitura superficiale
- Microstruttura

I provini avevano sezione circolare ma il diametro non era specificato

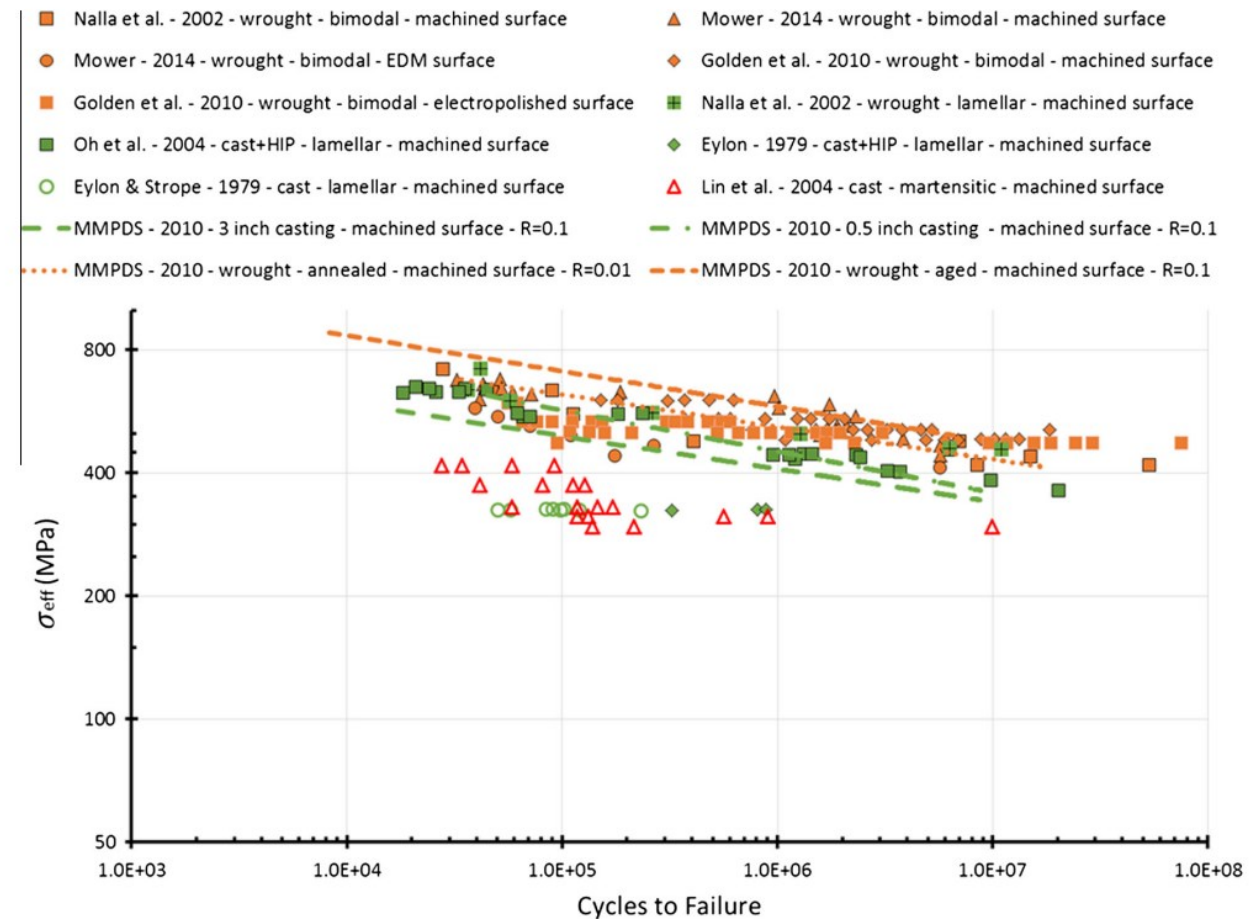
Carico assiale

Le prove sono state effettuate a diversi rapporti di fatica

$$\sigma_{\text{eff}} = \sigma_{\text{max}} \left(\frac{1 - R}{2} \right)^{0,28}$$

METODI TRADIZIONALI

P. Li et al. / International Journal of Fatigue 85 (2016) 130–143

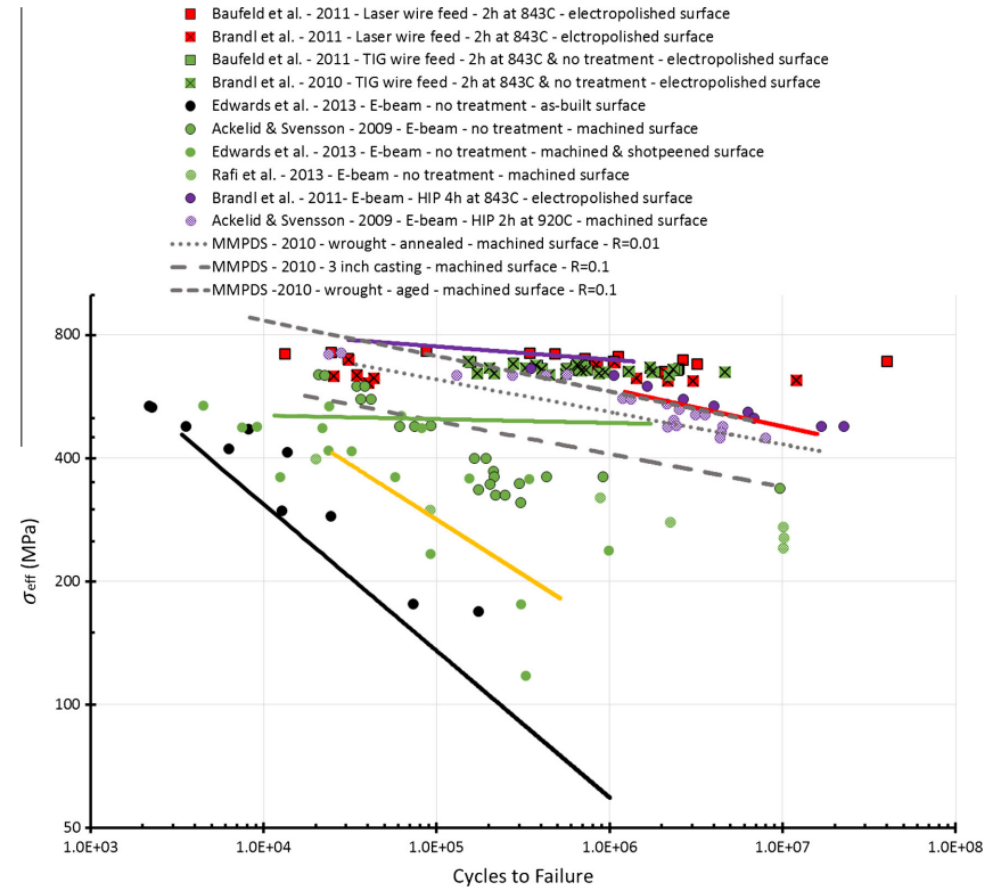
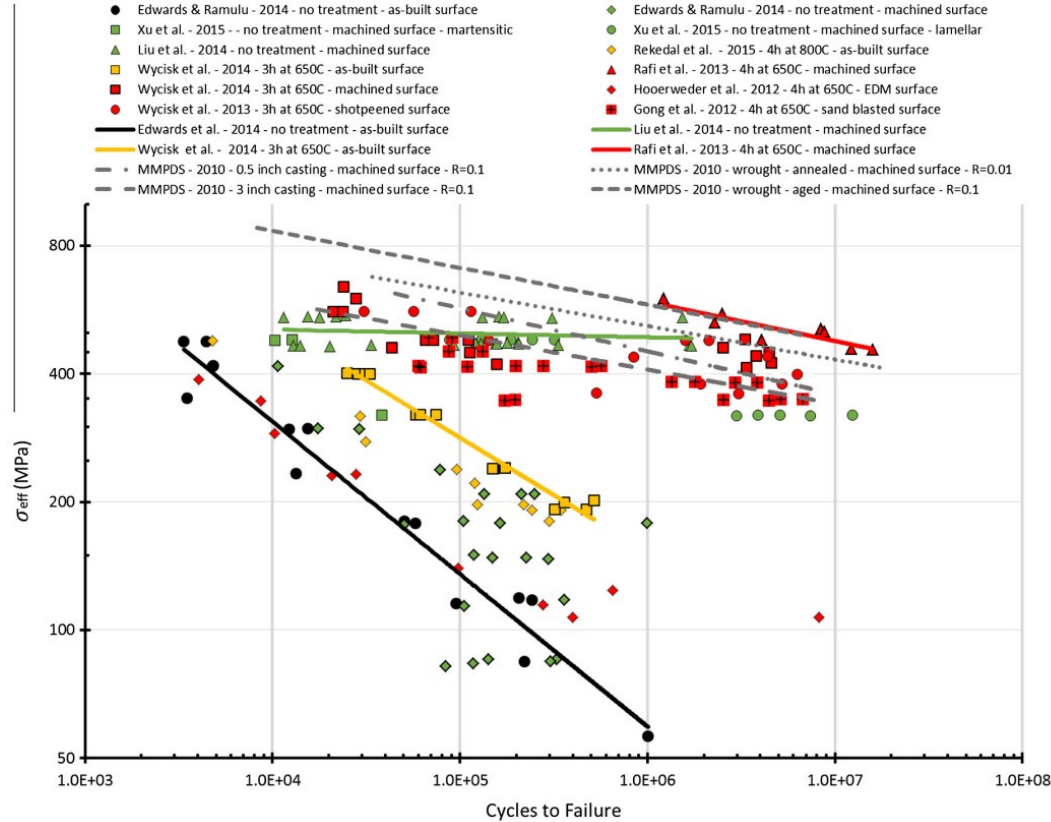


ADDITIVE MANUFACTURING

LASER PBF

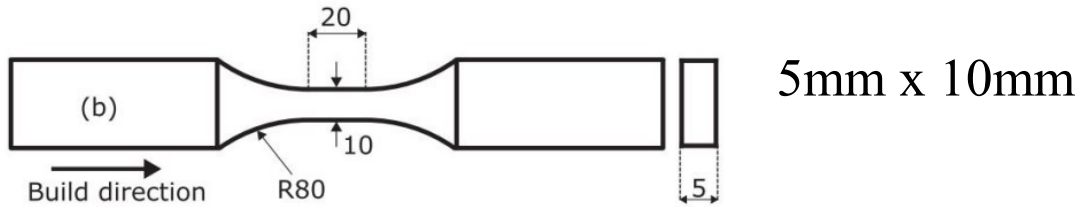
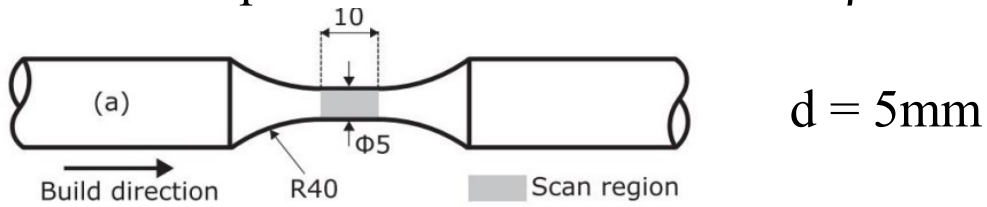
E-BEAM PBF LASER WIRE-FEED DED TIG WIRE-FEED DED

P. Li et al. / International Journal of Fatigue 85 (2016) 130–143



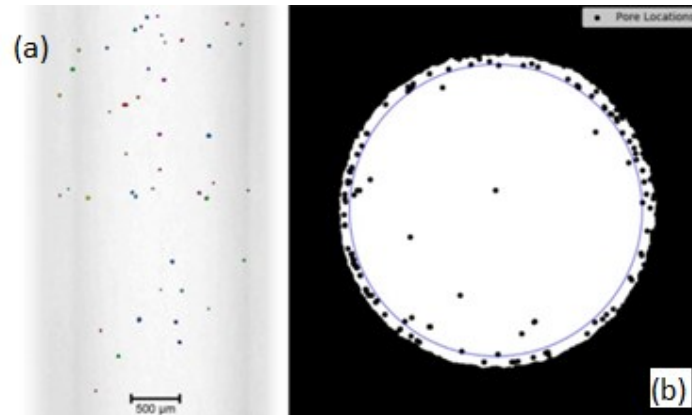
- Li, P., Warner, D. H., Fatemi, A., & Phan, N. (2016). Critical assessment of the fatigue performance of additively manufactured ti-6al-4v and perspective for future research. International Journal of Fatigue, 85, 130–143.

Provini: Ti6Al4V – laser PBF
orientamento verticale
TT 800°C per 2h - microstruttura $\alpha + \beta$

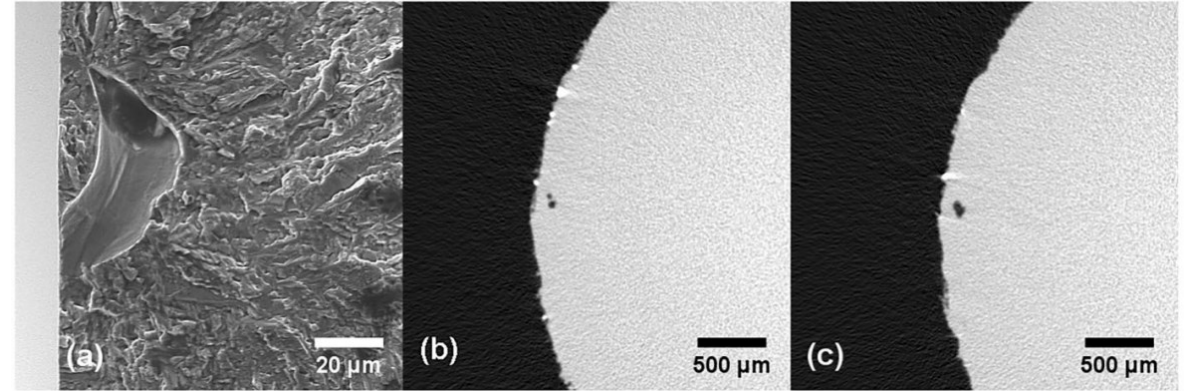


DISTRIBUZIONE DIFETTI

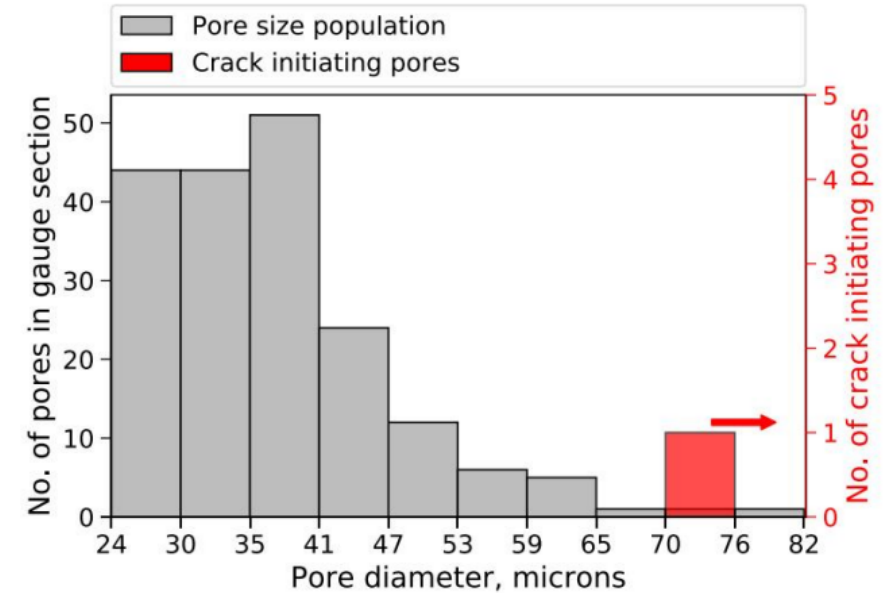
carico assiale
 $R = 0,1$



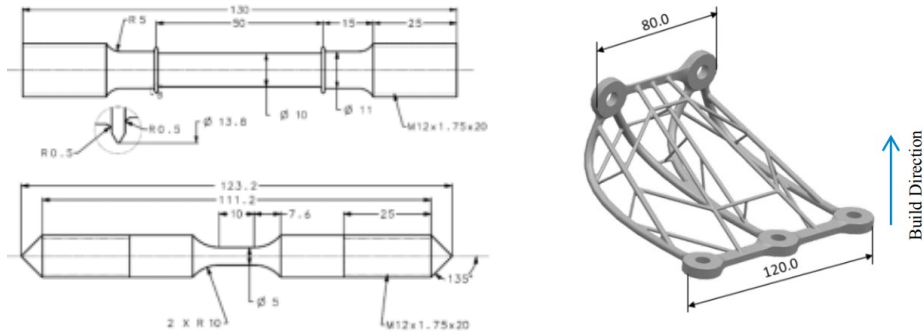
SUPERFICIE DI FRATTURA



POPOLAZIONE E DIMENSIONE PORI



Staffa di un motore aeronautico in Ti6Al4V prodotta tramite SLM
Granulometria 15-45 μ m, sabbata e TT a 650°C per 3h in atmosfera di argon e raffreddata in forno a Tamb



dimensioni in mm

PROVA DI FATICA LCF UNIASSIALE

PRESTAZIONI A TRAZIONE

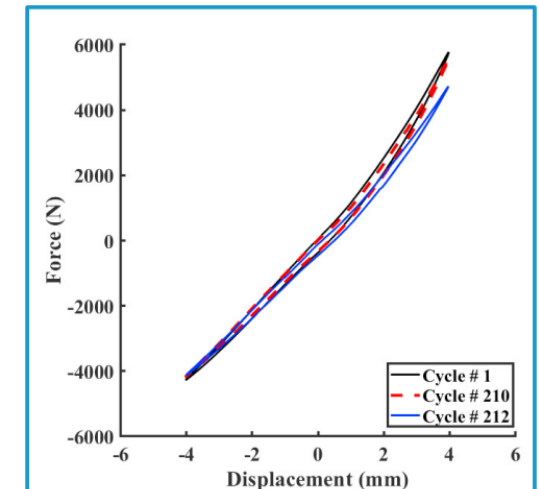
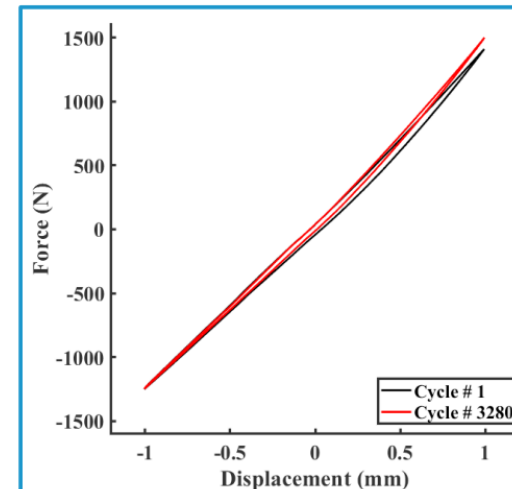
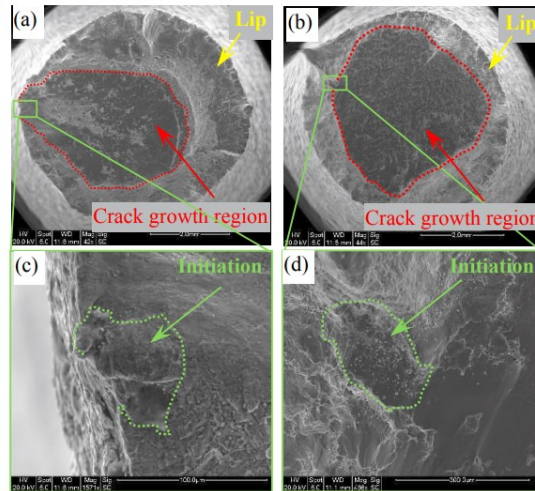
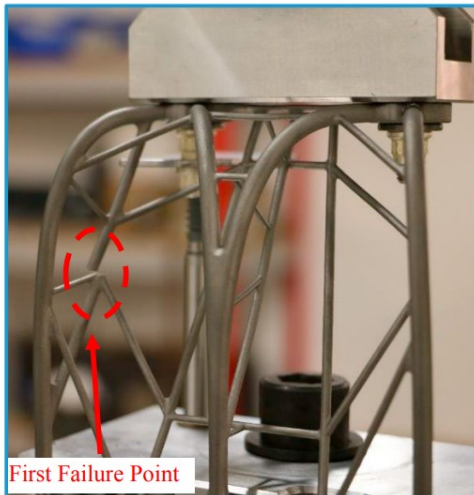
Test Identification Number (#)	Temperature (°C)	SR (s ⁻¹)	Young's Modulus (MPa)	0.2% PS (MPa)	UTS (MPa)	Ductility (%)	RTS
TT1	20	0.0002	116000	1020	1114	6.4	1.09
TT2	20	0.0265	121816	1125	1171	8.7	1.04
Annealed Ti-6Al-4V Bar [MMPDS-15, 2020]	20			861	930	10	

Carico assiale
 $R = -1$

CICLI DI ISTERESI STAFFA

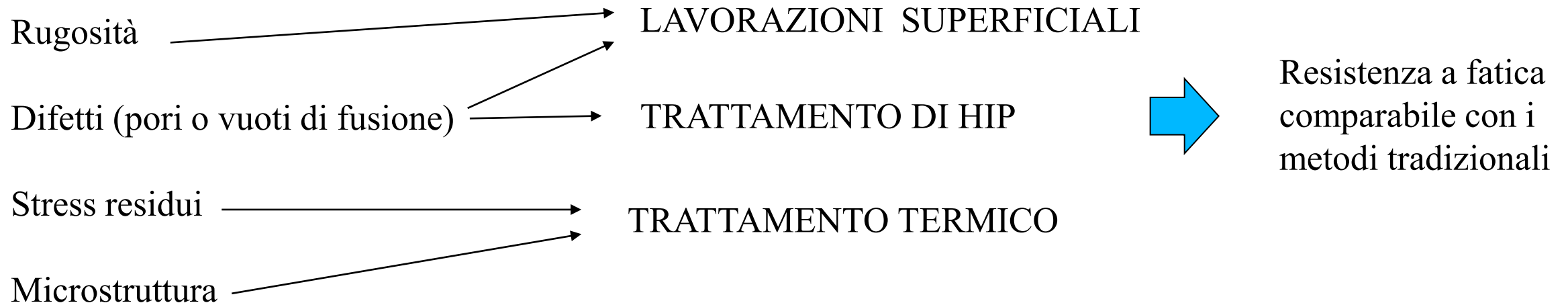
$s = \pm 1\text{mm}$

$s = \pm 4\text{mm}$



PROVE STATICHE → Migliore resistenza a trazione (UTS anche fino a +25%)
→ Allungamento simile o minore (fino a 30% in meno)

FATICA



IMPORTANTE MIGLIORARE I PARAMETRI DI PROCESSO DI COSTRUZIONE
potenza della fonte di energia, percorso e strategie di scanning, spessore dello strato di polvere, ecc. (variano dal processo e dalla macchina utilizzata)